

Capítulo 4

Potencial Eletrostático

4.1 Introdução

A utilização do campo elétrico, como visto no capítulo anterior, para resolução de problemas pode ser bastante complexa, principalmente devido ao fato de o campo elétrico ser um campo vetorial. Dessa forma, o potencial elétrico entra como uma excelente forma de simplificar os cálculos a serem realizados e possibilitar a resolução de problemas ainda mais complexos de eletrostática.

Inicialmente, porém, relembremos alguns conceitos básicos:

4.1.1 Recordação da Mecânica

Sejam P_1 e P_2 pontos e c um caminho que liga P_1 a P_2 . O trabalho realizado por uma força ao longo deste caminho de P_1 a P_2 é:

$$W_{P_1 \rightarrow P_2}^{(c)} = \int_{P_1(c)}^{P_2} \vec{F} \cdot d\vec{l}$$

Dessa forma, pelo teorema do trabalho-energia cinética temos:

$$\Delta T = W_{P_1 \rightarrow P_2}^{(c)}$$

$$T_2 - T_1 = W_{P_1 \rightarrow P_2}^{(c)}$$

Ou seja, o trabalho é igual à variação da energia cinética entre os pontos. Assim temos que, se a força \vec{F} for conservativa, pela conservação da energia mecânica temos:

$$\Delta V + \Delta T = c^{te} = \Delta E_{mec} = 0$$

$$W_{P_1 \rightarrow P_2} = -\Delta U$$

$$\Delta U = - \int_{P_1}^{P_2} \vec{F} \cdot d\vec{l}$$

Que só depende dos pontos inicial e final.

4.2 Definição do Potencial eletrostático

Logo, assim como associamos à força Peso um campo escalar U da energia potencial gravitacional, podemos associar à força eletrostática um campo escalar V, pois esse se trata também de um campo conservativo, da seguinte forma:

$$\begin{aligned} W &= \int_A^B \vec{F}_{ele} \cdot d\vec{l} \\ \Delta U &= - \int_A^B q\vec{E} \cdot d\vec{l} \end{aligned} \tag{4.1}$$

O que nos leva à

$$\Delta V = \frac{\Delta U}{q} = - \int_A^B \vec{E} \cdot d\vec{l} \quad (4.2)$$

Ou seja

$$\text{Potencial} = \frac{\text{EnergiaPotencialEletrostatica}}{\text{carga}}$$

Porém a escolha do nível o qual o potencial é nulo é arbitrário, sendo normalmente escolhido o infinito, assim, é conveniente escolher $V(\infty) = 0$.

Exemplo:

4.2.1 Cálculo do potencial eletrostático gerado por uma carga pontual q

Sabe-se que:

$$\vec{E} = \frac{1}{4\pi\epsilon_0} \frac{q}{r^2} \hat{r}$$

Logo:

$$V(r_2) - V(r_1) = - \int_{P_1}^{P_2} \vec{E} \cdot d\vec{l} = - \int_{P_1}^{P_2} \frac{1}{4\pi\epsilon_0} \frac{q}{r^2} dr = \frac{q}{4\pi\epsilon_0} \left(\frac{1}{r_2} - \frac{1}{r_1} \right)$$

Então, estabelecendo $r_1 \rightarrow \infty$ e $V(\infty) = 0$ temos que:

$$V(r) = \frac{q}{4\pi\epsilon_0} \frac{1}{r}$$

4.3 Cálculo do Campo a partir do potencial

Como vimos, definimos o potencial eletrostático através do campo elétrico, mas, dado o potencial é possível obter o campo elétrico?

A resposta é sim, da seguinte forma:

Sabe-se pelo teorema do gradiente que:

$$\Delta V = - \int_{P_1}^{P_2} \vec{\nabla} V \cdot d\vec{l}$$

Mas:

$$\Delta V = - \int_{P_1}^{P_2} \vec{E} \cdot d\vec{l}$$

Logo, como a igualdade é verdadeira para quaisquer pontos P_1 e P_2 , temos:

$$\vec{E} = -\vec{\nabla} V \quad (4.3)$$

que nos dá o vetor campo elétrico a partir do campo escalar V . Vale notar que isso só é possível devido ao fato de o campo elétrico ser conservativo.

4.3.1 Equipotenciais

Nesse momento, faz-se necessário introduzir o conceito de equipotenciais. Basicamente, as equipotenciais são regiões com o mesmo potencial eletrostático. Além disso, deve-se notar que a equação $dV = \vec{E} \cdot d\vec{l}$ implica que, se $\vec{E} \perp d\vec{l}$:

$$dV = 0 \Rightarrow V = cte$$

Logo, as equipotenciais são perpendiculares ao campo.

4.4 Potencial de uma distribuição de cargas

O cálculo do potencial é, muitas vezes, menos trabalhoso que o cálculo do campo elétrico. Dessa forma, veremos a seguir diversas formas de calcular o potencial eletrostático e alguns exemplos de aplicação. Sempre lembrando que $\vec{E} = -\vec{\nabla}V$

Sabe-se, como o princípio da superposição é válido para o campo elétrico, o mesmo acontece para o campo eletrostático, assim temos que:

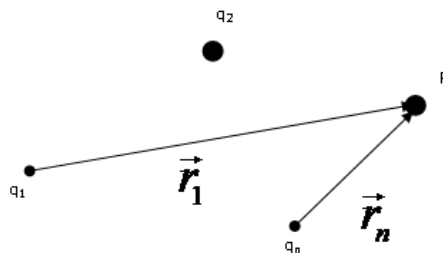


Figura 4.1: Esquema

$$V(P) = \sum_{i=1}^n \frac{q_i}{4\pi\epsilon_0 r_i}$$

Logo:

$$V(P) = \frac{1}{4\pi\epsilon_0} \int \frac{dq}{r} \quad (4.4)$$

Que, Para uma distribuição:

Volumétrica: $dq = \rho dv$

Superficial: $dq = \sigma dS$

Linear: $dq = \lambda dl$

Agora, vejamos alguns exemplos de aplicação:

4.4.1 Anel isolante uniformemente carregado

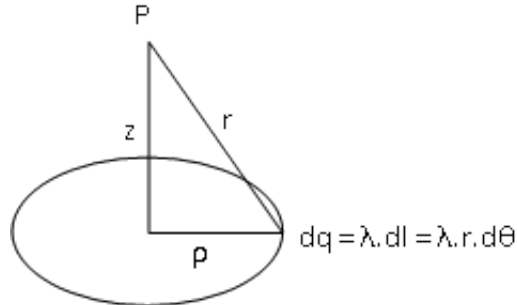


Figura 4.2: Anel isolante carregado com densidade linear λ

Assim:

$$V(P) = \frac{1}{4\pi\epsilon_0} \int_0^{2\pi} \frac{\lambda \rho d\theta}{(\rho^2 + z^2)^{1/2}}$$

$$V(P) = \frac{Q}{4\pi\epsilon_0 (\rho^2 + z^2)^{1/2}}$$

Assim, como $\vec{E} = -\vec{\nabla}V$, então:

$$\vec{E} = \frac{Qz}{4\pi\epsilon_0 (\rho^2 + z^2)^{3/2}} \hat{z}$$

4.4.2 Disco uniformemente carregado: a uma distância z do centro

Como $dq = \sigma ds = \sigma r' dr' d\theta$ e $r = (z^2 + r'^2)^{1/2}$ então:

$$V = \frac{1}{4\pi\epsilon_0} \int_0^{2\pi} \int_0^R \frac{\sigma r' dr' d\theta}{(z^2 + r'^2)^{1/2}} = \frac{\pi\sigma}{4\pi\epsilon_0} \int_0^R \frac{2r' dr'}{(z^2 + r'^2)^{1/2}}$$

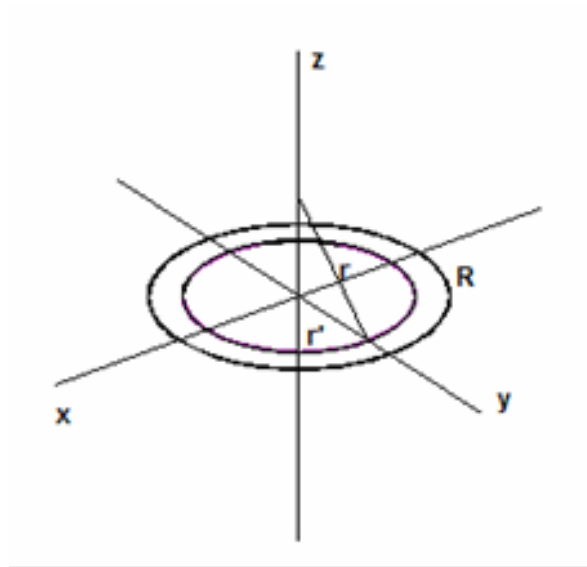


Figura 4.3: disco isolante carregado com densidade superficial σ

$$V = \frac{\sigma}{4\epsilon_0} [2(z^2 + r'^2)^{1/2}]_0^R = \frac{\sigma}{2\epsilon_0} [\sqrt{z^2 + R^2} - |z|]$$

Vale notar que, se $\lim |z| \gg R$ então:

$$\sqrt{z^2 + R^2} = |z| \left(1 + \left(\frac{R}{z} \right)^2 \right)^{1/2} = |z| \left(1 + \frac{1}{2} \frac{R^2}{z^2} + \dots \right)$$

Logo:

$$V \approx \frac{\sigma}{2\epsilon_0} \frac{R^2}{z|z|} = \frac{1}{4\pi\epsilon_0} \frac{Q}{|z|}$$

Ou seja, caso observemos o disco de muito longe, ele irá se comportar cada vez mais com uma carga pontual. Além disso podemos obter \vec{E} :

$$\vec{E} = -\frac{\partial}{\partial z} V = \frac{\sigma}{2\epsilon_0} \left[\frac{z}{|z|} - \frac{z}{\sqrt{R^2 + z^2}} \right]$$

Desse exemplo nós podemos tirar algumas conclusões:

⇒ Normalmente é mais difícil achar o potencial em outros pontos fora do eixo de simetria, pois a integral não é tão simples apesar de bem conhecida e tabelada (integrais elípticas).

⇒ O campo, assim como o potencial, pode ser difícil de calcular caso não haja simetria. Além disso, ambos o potencial e o campo elétrico se aproximam daqueles gerados por cargas pontuais com o aumento da distância.

Calculemos agora o exemplo do potencial no bordo do disco:

4.4.3 Disco uniformemente carregado: Cálculo no Bordo

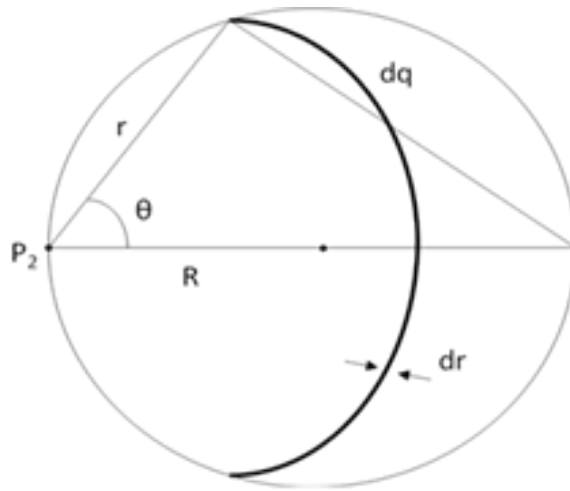


Figura 4.4: disco isolante carregado com densidade superficial σ

Assim:

$$dq = \sigma r(2\theta)dr$$

$$V = \frac{1}{4\pi\epsilon_0} \int \frac{dq}{r}$$

$$V = \frac{1}{4\pi\epsilon_0} \int \sigma(2\theta)dr$$

Porém, pela geometria do triângulo:

$$r = 2R \cos \theta$$

$$dr = -2R \operatorname{sen} \theta d\theta$$

Logo:

$$V = \frac{1}{4\pi\epsilon_0} \int_{\pi/2}^0 \sigma 2\theta (-2R \operatorname{sen} \theta) d\theta = \frac{R\sigma}{\pi\epsilon_0} \int_0^{\pi/2} \theta \operatorname{sen} \theta d\theta = \frac{R\sigma}{\pi\epsilon_0} [\operatorname{sen} \theta - \theta \cos \theta]_0^{\pi/2}$$

$$V_{\text{borda}} = \frac{R\sigma}{\pi\epsilon_0}$$

4.4.4 Casca esférica

Temos:

$$r^2 = z^2 + R^2 - 2zR \cos \theta$$

$$dq = \sigma ds = \sigma R^2 \operatorname{sen} \theta d\theta d\phi$$

Assim:

$$V(z) = \frac{1}{4\pi\epsilon_0} \int_0^{2\pi} \int_0^\pi \frac{\sigma R^2 \operatorname{sen} \theta d\theta d\phi}{(z^2 + R^2 - 2zR \cos \theta)^{1/2}}$$

$$V(z) = \frac{2\pi\sigma R^2}{4\pi\epsilon_0 2zR} [(z^2 + R^2 - 2zR \cos \theta)^{1/2}]_0^\pi$$

$$V(z) = \frac{\sigma R}{\epsilon_0 2z} [\sqrt{z^2 + R^2 + 2zR} - \sqrt{z^2 + R^2 - 2zR}] = \frac{\sigma R}{\epsilon_0 2z} [\sqrt{(z+R)^2} - \sqrt{(z-R)^2}]$$

$$\text{se } z > R \Rightarrow z - R > 0 \Rightarrow \sqrt{(z-R)^2} = z - R \Rightarrow V(z) = \frac{\sigma R^2}{\epsilon_0 z}$$

$$\text{se } z < R \Rightarrow z - R < 0 \Rightarrow \sqrt{(z-R)^2} = -(z-R) \Rightarrow V(z) = \frac{\sigma R}{2\epsilon_0 z} [z + R - (R - z)] = \frac{\sigma R}{\epsilon_0}$$

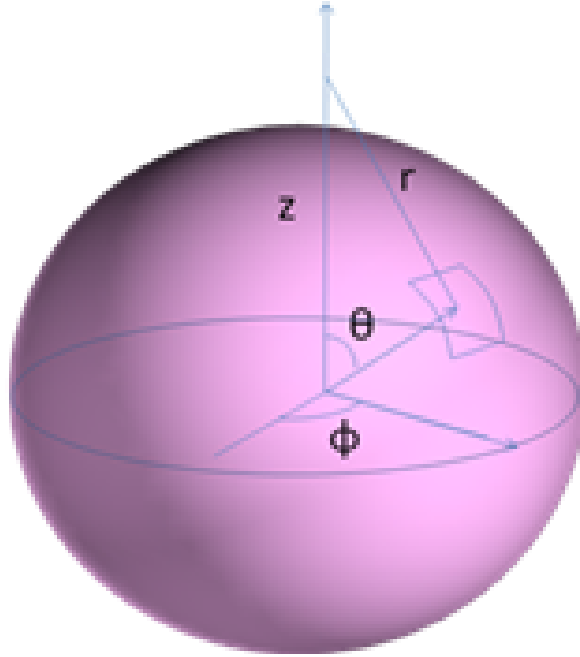


Figura 4.5: disco isolante carregado com densidade superficial σ

O potencial dentro da esfera é constante. Assim temos:

$$V(z) = \begin{cases} \frac{\sigma R^2}{\epsilon_0 z} = \frac{Q}{4\pi\epsilon_0 z}, r > R \\ \frac{\sigma R}{\epsilon_0} = \frac{Q}{4\pi\epsilon_0 R}, r < R \end{cases} \quad \text{e} \quad E(z) = \begin{cases} \frac{Q}{4\pi\epsilon_0 z^2}, r > R \\ 0, r < R \end{cases}$$

Podemos então, construir os gráficos de E e V em função de r obtendo assim:

4.5 Dipolo elétrico e expansão multipolar dos campos elétricos

Por definição, um dipolo elétrico está relacionado com o potencial elétrico gerado por um sistema de duas cargas.

Exemplo: Encontre o potencial elétrico em um ponto arbitrário no eixo x.

4.5. DIPOLO ELÉTRICO E EXPANSÃO MULTIPOLAR DOS CAMPOS ELÉTRICOS 61

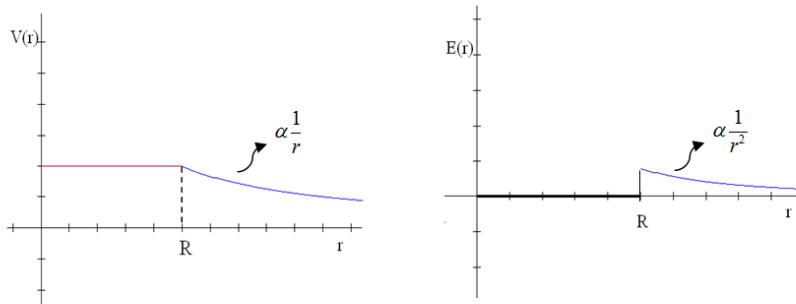


Figura 4.6: gráfico de E e V por r

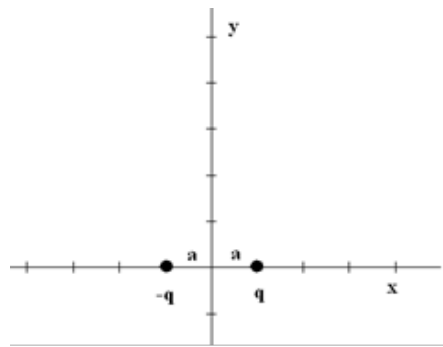


Figura 4.7: Esquema

Assim:

$$V(x) = \frac{1}{4\pi\epsilon_0} \frac{q}{|x-a|} + \frac{1}{4\pi\epsilon_0} \frac{(-q)}{|x+a|} = \frac{q}{4\pi\epsilon_0} \left[\frac{1}{|x-a|} - \frac{1}{|x+a|} \right]$$

Que, sendo $V_0 = \frac{q}{4\pi\epsilon_0 a}$ então:

$$\frac{V(x)}{V_0} = \frac{1}{\left|\frac{x}{a} - 1\right|} - \frac{1}{\left|\frac{x}{a} + 1\right|}$$

Assim pode-se construir o gráfico:

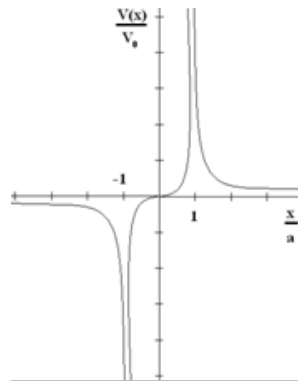


Figura 4.8: Gráfico de V/V_0 em função de x

Que diverge no local onde as cargas se encontram.

Agora, iremos analisar o caso anterior, mas com a posição de referência sendo em qualquer ponto do plano. Assim temos:

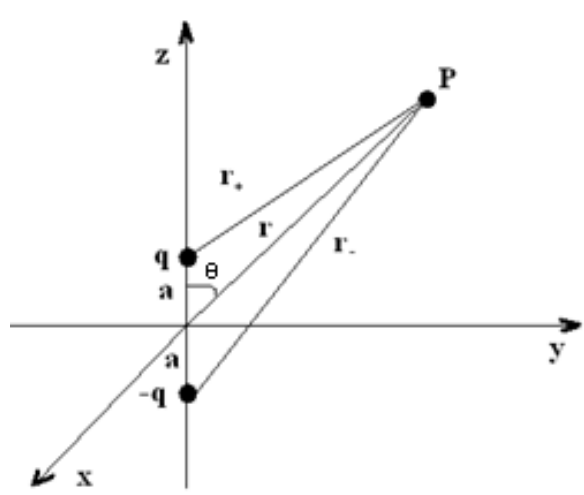


Figura 4.9: Esquema

$$V = \frac{q}{4\pi\epsilon_0} \left[\frac{1}{r_+} - \frac{1}{r_-} \right]$$

Mas $r_{\pm}^2 = r^2 + a^2 \mp 2ra \cos \theta$. Considerando uma posição na qual $r \gg a$

4.5. DIPOLO ELÉTRICO E EXPANSÃO MULTIPOLAR DOS CAMPOS ELÉTRICOS 63

temos:

$$\frac{1}{r_{\pm}} = (r^2 + a^2 \mp 2ra \cos \theta)^{-1/2} = \frac{1}{r} \left(1 + \underbrace{\left(\frac{a}{r} \right)^2 \mp 2 \frac{a}{r} \cos \theta}_x \right)^{-1/2}$$

mas se $x \ll 1$ então $(1+x)^{-1/2} \simeq 1 - \frac{1}{2}x$, e como $\frac{a}{r} \ll 1$ então:

$$\frac{1}{r_{\pm}} = \frac{1}{r} \left(1 - \frac{1}{2} \left(\frac{a}{r} \right)^2 \pm \frac{a}{r} \cos \theta \right)$$

Logo:

$$V \approx \frac{q}{4\pi\epsilon_0 r} \left[1 - \frac{1}{2} \left(\frac{a}{r} \right)^2 + \frac{a}{r} \cos \theta - 1 + \frac{1}{2} \left(\frac{a}{r} \right)^2 + \frac{a}{r} \cos \theta \right] \approx \frac{q2a \cos \theta}{4\pi\epsilon_0 r^2} = \frac{p \cos \theta}{4\pi\epsilon_0 r^2} = \frac{\vec{p} \cdot \hat{r}}{4\pi\epsilon_0 r^2}$$

Na qual $\vec{p} = 2aq\hat{k}$ é o momento dipolo elétrico.

Vale notar também que V cai com r^2 e não com r , o que é razoável, que V decresça mais rápido que o potencial de uma única carga, pois conforme estamos mais e mais longe do dipolo, este parece mais e mais com uma pequena unidade de carga zero.

Calculando o campo, sabendo que o gradiente em coordenadas esféricas é dado por:

$$\vec{\nabla} = \frac{\partial}{\partial r} \hat{r} + \frac{1}{r} \frac{\partial}{\partial \theta} \hat{\theta} + \frac{1}{r \sin \theta} \frac{\partial}{\partial \varphi} \hat{\varphi}$$

Então:

$$E_r = -\frac{\partial V}{\partial r} = +\frac{p \cos \theta}{2\pi\epsilon_0 r^3}, E_{\theta} = -\frac{1}{r} \frac{\partial V}{\partial \theta} = +\frac{1}{r} \frac{p \sin \theta}{4\pi\epsilon_0 r^2} = +\frac{p \sin \theta}{4\pi\epsilon_0 r^3}$$

$$\vec{E} = \frac{p \cos \theta}{2\pi\epsilon_0 r^3} \hat{r} + \frac{p \sin \theta}{4\pi\epsilon_0 r^3} \hat{\theta}$$

A seguir faremos uma análise mais aprofundada do assunto, aplicando o mesmo raciocínio anterior, poderemos deduzir que:

Em monopolo V cai com $1/r$

Em um dipolo V cai com $1/r^2$

Em um quadripolo V cai com $1/r^3$

E assim sucessivamente...

Consideremos agora uma distribuição de cargas na vizinhança na origem do sistema de coordenadas, finita, e pode ser totalmente encenada por uma esfera de raio a que é pequeno comparado à distância até o ponto de observação. Assim temos que:

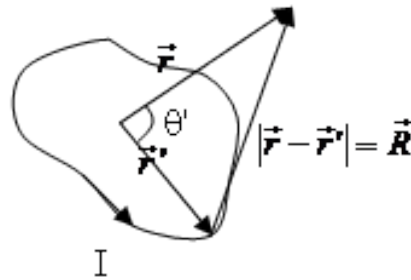


Figura 4.10: Esquema

Na qual $\rho = \rho(r')$. Logo:

$$V(r) = \frac{1}{4\pi\epsilon_0} \int_V \frac{\rho(r')}{|\vec{r} - \vec{r}'|} dv'$$

Mas, se $r \gg r'$

4.5. DIPOLO ELÉTRICO E EXPANSÃO MULTIPOLAR DOS CAMPOS ELÉTRICOS 65

$$|\vec{r} - \vec{r}'|^{-1} = (r^2 - 2\vec{r} \cdot \vec{r}' + r'^2)^{-1/2} = \frac{1}{r} \left(1 - 2\frac{\vec{r} \cdot \vec{r}'}{r^2} + \left(\frac{r'}{r}\right)^2 \right)^{-1/2}$$

$$|\vec{r} - \vec{r}'|^{-1} \approx \frac{1}{r} \left(1 - \frac{1}{2} \left(-2\frac{\vec{r} \cdot \vec{r}'}{r^2} + \frac{r'^2}{r^2} \right) \right) \approx \underbrace{\frac{1}{r}}_{\text{Potencial de monopolo}} + \underbrace{\frac{\vec{r} \cdot \vec{r}'}{r^3}}_{\text{Potencial de dipolo, sendo } \vec{p} = \vec{r}' q \rightarrow \frac{\vec{p} \cdot \vec{r}}{r^2}} + \dots$$

Logo, O potencial devido à uma distribuição de carga arbitrária pode sempre ser expresso em termos de uma expansão de multipólos. Assim, pela Lei dos Cossenos:

$$\left(\underbrace{|\vec{r}' - \vec{r}|}_{r} \right)^2 = r^2 + r'^2 - 2rr' \cos \theta'$$

Note que foram definidos duas distâncias, uma r e outra r' não se confunda!

$$r^2 = r^2 \left(1 + \left(\frac{r'}{r}\right)^2 - 2\frac{r'}{r} \cos \theta' \right)$$

$$r = r \left(1 + \left(\frac{r'}{r}\right)^2 - 2\frac{r'}{r} \cos \theta' \right)^{1/2}$$

$$r = r (1 + \epsilon)^{1/2}, \quad \epsilon = \left(\frac{r'}{r}\right)^2 - 2\frac{r'}{r} \cos \theta'$$

Logo:

$$\frac{1}{r} = \frac{1}{r} (1 + \epsilon)^{-1/2} = \frac{1}{r} \left[1 - \frac{1}{2} \epsilon + \frac{3}{8} \epsilon^2 - \frac{5}{16} \epsilon^3 + \dots \right]$$

$$\begin{aligned}
&= \frac{1}{r} \left[1 - \frac{1}{2} \left(\frac{r'}{r} \right)^2 + \frac{r'}{r} \cos \theta' + \frac{3}{8} \left(\frac{r'}{r} \right)^4 + \frac{3}{2} \left(\frac{r'}{r} \right)^2 \cos^2 \theta' - \frac{3}{2} \left(\frac{r'}{r} \right)^3 \cos \theta' + \dots \right] \\
&= \frac{1}{r} \left[1 + \frac{r'}{r} \cos \theta' + \left(\frac{r'}{r} \right)^2 \frac{(3 \cos^2 \theta' - 1)}{2} + \dots \right]
\end{aligned}$$

Que, utilizando então os polinômios de Legendre:

$$P_l(x) = \frac{1}{2^l l!} \left(\frac{d}{dx} \right)^l (x^2 - 1)^l$$

Podemos escrever:

$$\frac{1}{r} = \frac{1}{r} \sum_{n=0}^{\infty} P_n(\cos \theta') \left(\frac{r'}{r} \right)^n$$

Logo:

$$\begin{aligned}
V(r) &= \frac{1}{4\pi\epsilon_0} \int \frac{\rho(r') dv'}{r} \sum_{n=0}^{\infty} P_n(\cos \theta') \left(\frac{r'}{r} \right)^n \\
V(r) &= \frac{1}{4\pi\epsilon_0} \sum_{n=0}^{\infty} \frac{1}{r^{n+1}} \int (r')^n P_n(\cos \theta') \rho(r') dv'
\end{aligned}$$

Note que temos agora a expansão multipolar do potencial em termos de $1/r$, na qual: $n = 0$, contribuição de monopólo

$n = 1$, dipolo

$n = 2$, quadrupolo

Com o menor termo não nulo da expansão nos dá aproximadamente o potencial a grandes distâncias, e os termos sucessivos aumentam a precisão do resultado.

Nota-se também que o termo de dipolo é dado por:

$$V_{dip} = \frac{1}{4\pi\epsilon_0} \frac{1}{r^2} \hat{r} \cdot \underbrace{\int \vec{r}' \rho(r') dr'}_{\vec{p} = \text{momento de dipolo da distribucao}}$$

pois $r' \cos \theta = \vec{r}' \cdot \hat{r}$

4.6 Circulação do campo elétrico

Como visto no capítulo zero sabemos que:

$$\oint_{\Gamma_i} \vec{c} \cdot d\vec{l} = (\vec{\nabla}_x \vec{c}) \cdot \hat{n} \Delta S$$

Onde \vec{c} é um campo vetorial qualquer.

Dessa forma, como sabemos que

$$\oint_{\Gamma} \vec{E} \cdot d\vec{l} = 0, \forall \Gamma$$

Então:

$$\int_S (\vec{\nabla}_x \vec{E}) \cdot d\vec{s} = 0, \forall S$$

$$\vec{\nabla}_x \vec{E} = 0$$

Essa equação resume basicamente toda a eletrostática, visto que, ela mostra que o campo elétrico é conservativo (na eletrostática) e permite que o campo elétrico seja o gradiente de uma função potencial, visto que $\vec{\nabla}_x \vec{\nabla} V = 0$ (o rotacional de um gradiente é sempre nulo).

